

I Généralités sur les homographies

I.A Composition d'homographies

I.A.1) Pour $A = \begin{pmatrix} a & b \\ c & d \end{pmatrix}$ et $A' = \begin{pmatrix} a' & b' \\ c' & d' \end{pmatrix}$, et z dans \mathbb{C} privé de quelques points, on a :

$$h_A(h_{A'}(z)) = \frac{a \frac{a'z+b'}{c'z+d'} + b}{c \frac{a'z+b'}{c'z+d'} + d} = \frac{(aa' + bc')z + ab' + bd'}{(ca' + dc')z + cb' + dd'}.$$

Pour bien faire, il faudrait dire quelque chose pour les points spéciaux, mais je ne sais pas comment le faire vite.

I.A.2) Si I est la matrice identité, h_I est Id, l'identité de \mathbb{P}^1 . Par suite, pour $A \in G$ et A^{-1} son inverse, on a : $h_{A^{-1}} \circ h_A = \text{Id} = h_A \circ h_{A^{-1}}$. Ainsi, h_A est bijective, et, en simplifiant par le déterminant, on voit que sa réciproque est l'homographie :

$$h_A^{-1} = h_{A^{-1}} : z \mapsto \frac{dz - b}{-cz + a}.$$

Ainsi, l'ensemble des homographies n'est pas vide, il est stable par produit et par passage à l'inverse, donc c'est un sous-groupe du groupe des bijection de \mathbb{P}^1 sur \mathbb{P}^1 .

I.A.3) Evident. Noter que puisque tout complexe est un carré, pour tout $A \in G$, on peut écrire : $h_A = h_{\delta^{-1}A}$, où $\delta \in \mathbb{C}$ est tel que $\det \delta^{-1}A = 1$, i.e. $\delta^2 = \det(A)$, si bien que toute homographie est l'homographie associée à une matrice de déterminant 1.

I.A.4) L'hypothèse s'écrit : $h_{A^{-1}A'} = \text{Id}$. Si on note $A^{-1}A' = \begin{pmatrix} \lambda & \mu \\ \nu & \pi \end{pmatrix}$, on a donc :

$$\forall z \in \mathbb{C} \setminus \{-\pi/\nu\}, \quad \lambda z + \mu = z(\nu z + \pi).$$

Comme chacun sait, un polynôme qui a une infinité de racines est le polynôme nul, d'où l'on tire : $\lambda = \pi$, $\mu = \nu = 0$. Bien sûr, $\lambda \neq 0$ car sinon, le déterminant serait nul. On en déduit que $A' = \lambda A$, comme souhaité.

I.B Homographies et birapport

I.B.1) Supposons qu'il existe une homographie $h : z \mapsto (az + b)/(cz + d)$ telle que

$$h(z_1) = \infty, \quad h(z_2) = 0, \quad h(z_3) = 1,$$

et vérifions son unicité. Les relations précédentes donnent :

$$cz_1 + d = 0, \quad az_2 + b = 0, \quad az_3 + b = cz_3 + d.$$

Vu que $z_1 \neq z_3$ et $z_3 \neq z_2$, on en tire :

$$b = -az_2, \quad d = -cz_1, \quad a = \frac{z_3 - z_1}{z_3 - z_2} c,$$

ce qui prouve l'unicité de h :

$$\forall z \in \mathbb{P}^1, \quad h(z) = \frac{\frac{z_3 - z_1}{z_3 - z_2} (z - z_2)}{z - z_1}.$$

Inversement, du fait que $z_2 \neq z_1$, la formule précédente définit bien une homographie (le déterminant de la matrice n'est pas nul), et on vérifie qu'elle convient.

I.B.2) On vérifie que $h(z_4) = [z_1, z_2, z_3, z_4]$.

I.B.3) On a :

$$h'g(z_1) = h'(z'_1) = \infty = h(z_1), \quad h'g(z_2) = h'(z'_2) = 0 = h(z_2), \quad h'g(z_3) = h'(z'_3) = 1 = h(z_3),$$

si bien que l'unicité de l'homographie de h dans IB1) donne : $h = h' \circ g$. Mais alors :

$$[z'_1, z'_2, z'_3, z'_4] = h'(z'_4) = h' \circ g(z_4) = h(z_4) = [z_1, z_2, z_3, z_4].$$

Noter que la ligne précédente a un sens, car l'injectivité des homographies assure que les quatre points de chaque birapport écrit sont distincts.

Remarque On peut aussi montrer cette relation par un calcul direct.

I.C Homographies et cercles

I.C.1) Comme dans le préambule, on confond les points et leurs affixes dans le repère $(0, \vec{01}, \vec{0i})$, qu'on décrète orthonormé direct¹. Soit a, b, c, d quatre points distincts de \mathbb{C} .

La mesure de l'angle (\vec{ac}, \vec{ad}) est l'argument de $(d-a)/(c-a)$. De même, celle de (\vec{bc}, \vec{bd}) est l'argument de $(d-b)/(c-b)$. La différence des mesures est donc

$$(\vec{ac}, \vec{ad}) - (\vec{bc}, \vec{bd}) = \text{Arg} \frac{d-a}{c-a} \times \frac{d-b}{c-b} = \text{Arg} \frac{1}{[a, b, c, d]} = -\text{Arg}[a, b, c, d] \pmod{2\pi}.$$

Comme un complexe est réel si et seulement si son argument est un multiple de π , la relation précédente exprime le théorème de l'angle inscrit sous la forme : quatre points sont cocycliques ou alignés SSI leur birapport est réel.

I.C.2) Soit h une homographie et C un cercle ou une droite. On fixe trois points distincts z_1, z_2, z_3 dans C . La question précédente montre qu'un complexe z (distinct de z_1, z_2, z_3) appartient à C si, et seulement si le birapport $[z_1, z_2, z_3, z]$ est réel. On peut appeler ça une caractérisation angulaire des cercles et des droites.

Or, si on note $z'_i = h(z_i)$ (pour $i \in \{1, 2, 3\}$), on a vu que : $[z'_1, z'_2, z'_3, h(z)] = [z_1, z_2, z_3, z]$. Par suite, z appartient à C si, et seulement si $h(z)$ appartient au cercle ou à la droite C' contenant z'_1, z'_2, z'_3 .

Attention ! Ceci prouve seulement que $h(C) \subset C'$. En effet, si on prend $z' \in C'$, rien prouve encore qu'il soit l'image d'un point de C .

Pour conclure, on sait que h est une surjection de \mathbb{P}^1 sur \mathbb{P}^1 . Par suite, tout point $z' \in C'$ est l'image d'un point z de \mathbb{P}^1 . L'égalité des birapports montre qu'en fait, $z \in C$.

Remarque L'énoncé était un peu négligent sur un point : pour que l'image d'une droite soit un cercle entier, il faut ajouter à cette droite le point ∞ .

I.C.3) Exemple

- a. Soit z un complexe de partie réelle 1, il s'écrit : $z = 1 + it, t \in \mathbb{R}$. Pour montrer que $j(z)$ appartient au cercle, on calcule

$$j(z) - \frac{1}{2} = \frac{1}{1+t^2} - \frac{it}{1+t^2} - \frac{1}{2} = \frac{1}{2} \left(\frac{1-t^2}{1+t^2} + \frac{2ti}{1+t^2} \right) = \frac{1}{2} (\cos \theta + i \sin \theta),$$

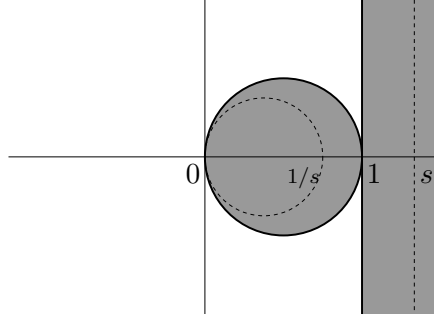
où θ est l'unique réel de $]-\pi, \pi[$ tel que $t = \tan(\theta/2)$. On en déduit d'abord que l'image de la droite $D_1 = \{\text{Re} = 1\}$ est contenue dans le cercle, mais plus précisément que tout point du cercle sauf $0 = 1/2 + 1/2 \exp(i\pi)$ (qui correspondrait à $\theta = \pi$ ou $t = \infty$) est l'image par j d'un point de la droite. Si on ajoute que l'image de ∞ est 0, on constate que l'image de la droite est le cercle entier.

¹C'est encore mal dit. Help!

- b. La méthode naturelle consiste à poser $z = s + it$, avec $s > 1$ et $t \in \mathbb{R}$, et à commencer par montrer que $|j(z) - 1/2| < 1/2$. C'est déplaisant.

Constatons plus habilement que P^+ est la réunion des droites $D_s = \{z \in \mathbb{C} : \operatorname{Re} z = s\}$, lorsque s parcourt $]1, +\infty[$. Fixons $s > 1$. L'image de D_s est un cercle ou une droite (privé du point 0, car $\infty \notin D_s$). Or, comme $D_s \cap D_1 = \emptyset$ et que j est injective, $j(D_s)$ ne coupe pas le cercle $j(D_1)$ qui borde Q^+ . Comme toute droite passant par $j(s) = 1/s$ coupe le cercle $j(D_1)$, l'image $j(D_s)$ est un cercle contenu dans Q^+ . (Plus précisément, c'est le cercle de diamètre $[0, 1/s]$.)

Le même raisonnement montre que l'image de $D_t = \{\operatorname{Re} z = t\}$ ne coupe pas le disque Q^+ pour $t \leq 1$. Mais tout élément de Q^+ possède un antécédent par j dans \mathbb{P}^1 , c'est donc que cet antécédent est dans une des droites D_s pour $s > 1$.



- c. On montrerait de même que l'image de la droite $\{\operatorname{Re} z = -1\}$ est le cercle de centre $-1/2$ et de rayon $1/2$, et que celle du demi-plan $\{\operatorname{Re} z > -1\}$ est le disque ouvert Q^- bordé par ce cercle.

II Le groupe $\Gamma(2) = \langle u, v \rangle$: un groupe libre

On note $\Gamma(2)$ le groupe engendré par u et v dans le groupe des homographies. On note aussi

$$P^- = \{z \in \mathbb{C}, \operatorname{Re} z < -1\}, \quad P^+ = \{z \in \mathbb{C}, \operatorname{Re} z > 1\}, \quad P_0 = \{z \in \mathbb{C}, -1 < \operatorname{Re} z < 1\},$$

$$Q^- = \left\{ z \in \mathbb{C}, \left| z + \frac{1}{2} \right| < \frac{1}{2} \right\}, \quad Q^+ = \left\{ z \in \mathbb{C}, \left| z - \frac{1}{2} \right| < \frac{1}{2} \right\}, \quad Q_0 = \mathbb{C} \setminus \overline{Q^+ \cup Q^-}.$$

II.A Le groupe $\Gamma(2)$

II.A.1) En prenant $n = 1$, $k_1 = 1$, on constate que Γ' contient u et v ; en particulier, il n'est pas vide. Si $w = w_1^{k_1} \cdots w_n^{k_n}$ et $w' = w_1^{k'_1} \cdots w_n^{k'_n}$ sont deux éléments de Γ' , alors $w^{-1}w' = w_n^{-k_n} \cdots w_1^{-k_1} w_1^{k'_1} \cdots w_n^{k'_n}$ appartient à Γ . Ceci finit de prouver que Γ' est un sous-groupe de $\Gamma(2)$ contenant u et v .

Puisqu'un sous-groupe contient tous les produits et les inverses de ses éléments, le sous-groupe engendré par u et v contient Γ' . C'est fini.

II.A.2) On montre le résultat par récurrence $n + |k_1| + \cdots + |k_n|$. Appelons réduite une écriture $w_1^{k_1} \cdots w_n^{k_n}$ telle que pour tout $1 \leq i \leq n$, $k_i \neq 0$ et pour tout $1 \leq i \leq n-1$, $w_i \neq w_{i+1}$. Pour $N \in \mathbb{N}^*$, on note H_N l'assertion suivante : tout élément de $\Gamma(2) \setminus \{\operatorname{Id}\}$, de la forme $w_1^{k_1} \cdots w_n^{k_n}$ avec $n + |k_1| + \cdots + |k_n| = N$, possède une écriture réduite.

L'assertion H_1 est vide : si $n + |k_1| + \cdots + |k_n| = 1$, alors nécessairement $n = 1$ et $k_1 = 0$, si bien que l'élément noté $w_1^{k_1} w_2^{k_2} \cdots w_n^{k_n}$ est Id .

Pour $N = 2$, on a nécessairement $n = 1$ et $k_1 = \pm 1$, et la décomposition est réduite : il n'y a rien à démontrer.

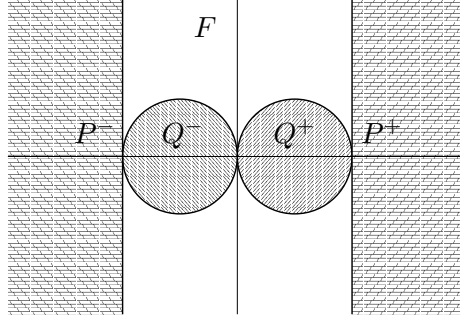
Supposons que pour un certain $N \geq 2$, H_2, \dots, H_{N-1} soient vraies et soit $g = w_1^{k_1} \cdots w_n^{k_n}$ avec $n + |k_1| + \cdots + |k_n| = N$. Si la décomposition n'est pas réduite, on est dans l'un des deux cas suivants :

- si l'un des k_i est nul, on peut supprimer le w_i correspondant et obtenir une décomposition du même type avec $n - 1$ à la place de n , et $N - 1$ à la place de N ;
- si, pour un certain i , on a $w_i = w_{i+1}$, on remplace $w_i^{k_i} w_{i+1}^{k_{i+1}}$ par $w_i^{k_i+k_{i+1}}$, ce qui donne une décomposition du même type avec $N' = n - 1 + |k_1| + \dots + |k_i + k_{i+1}| + \dots + |k_n|$ à la place de N ; notons qu'alors, $n - 1 < n$ et $|k_i + k_{i+1}| \leq |k_i| + |k_{i+1}|$, si bien que $N' < N$.

Dans chaque cas, l'hypothèse de récurrence fournit une décomposition réduite. On conclut.

II.B Action de u et v sur certains disques

II.B.1) Voici un joli dessin :



II.B.2) Pour z tel que $\operatorname{Re} z > -1$, on a : $\operatorname{Re} z + 2 > 1$. Ainsi : $u(P_0) \subset P^+$ et $u(P^+) \subset P^+$. Une récurrence immédiate montre que pour tout $k \in \mathbb{N}^*$, on a : $u^k(P_0) \subset P^+$. De même, $u^{-1}(P_0) \subset P^-$ et $u^{-1}(P^-) \subset P^-$, ce qui permet de montrer que pour $k \in \mathbb{N}^*$, $u^{-k}(P_0) \subset P^-$.

II.B.3) Puisque $j = h_J$, où $J = \begin{pmatrix} 0 & 1 \\ 1 & 0 \end{pmatrix}$, il suffit de calculer :

$$JUJ^{-1} = \begin{pmatrix} 0 & 1 \\ 1 & 0 \end{pmatrix} \begin{pmatrix} 1 & 2 \\ 0 & 1 \end{pmatrix} \begin{pmatrix} 0 & 1 \\ 1 & 0 \end{pmatrix} = \begin{pmatrix} 0 & 1 \\ 1 & 2 \end{pmatrix} \begin{pmatrix} 0 & 1 \\ 1 & 0 \end{pmatrix} = \begin{pmatrix} 1 & 0 \\ 2 & 1 \end{pmatrix} = V.$$

II.B.4) Effet de la conjugaison par j sur les disques

Idée Le principe est simple mais très souvent utile : quand on conjugue une transformation u par une transformation j , i.e. quand on calcule juj^{-1} , on obtient une transformation de même "nature géométrique" que u , dont les "éléments caractéristiques" sont les images par j des éléments correspondants de u .

Dans notre cas très précis, la propriété que $u^k(P_0) \subset P^\pm$ va automatiquement se traduire en : $v^k(j(P_0)) \subset j(P^\pm)$. Il n'y a plus qu'à reconnaître $j(P_0)$ et $j(P^\pm)$.

Comme P_0 est l'intérieur du complémentaire de $P^+ \cup P^-$ et que j est un homéomorphisme de \mathbb{P}^1 qui envoie $P^+ \cup P^-$ sur $Q^+ \cup Q^-$, on a : $j(P_0) = Q_0$.

On en déduit que pour $k > 0$, on a : $v^k(Q_0) = ju^k j^{-1} j(P_0) = ju^k(P_0) \subset j(P^+) = Q^+$. On en tire : $v^k(Q_0) \subset Q^+$ et de même : $v^{-k}(Q_0) \subset Q^-$.

II.B.5) Soit $k \in \mathbb{N}^*$ et $\eta \in \{+, -\}$. Comme $Q^\eta \subset P_0$, on a : $u^k(Q^\eta) \subset u^k(P_0) \subset P^+$. Comme $P^\eta \subset Q_0$, on a : $v^k(P^\eta) \subset v^k(Q_0) \subset Q^+$.

De même, on montrerait : $u^{-k}(Q^\eta) \subset P^-$ et $v^{-k}(P^\eta) \subset Q^-$.

II.C Liberté de $\Gamma(2)$

II.C.1) L'idée, c'est qu'en appliquant des u et des v à un élément de F , on ne revient jamais dans F .

- Si $w_n = u$, on a : $w_n^{k_n}(F) \subset u^{k_n}(P_0) \subset P^\varepsilon$, où ε est le signe de k_n . On en déduit que $w_{n-1}^{k_{n-1}} w_n^{k_n}(F) \subset v^{k_{n-1}}(Q_0) \subset Q^{\varepsilon'}$, où ε' est le signe de k_{n-1} . Par une récurrence descendante triviale, dont le pas est prouvé en IIB5), on voit que $g(F)$ est contenu dans un des disques P^\pm ou Q^\pm , selon la parité de n .

- b. Par définition de F , l'intersection de F et de $P^+ \cup P^- \cup Q^+ \cup Q^-$ est vide. Or, si on choisit $z \in F$ quelconque, son image $g(z)$ appartient à $P^+ \cup P^- \cup Q^+ \cup Q^-$: par suite, $g(z) \neq z$ et $g \neq \text{Id}$.

II.C.2) Supposons que les deux décompositions ne coïncident pas. Soit i l'indice minimal tel que $w_i \neq w'_i$ ou $k_i \neq k'_i$. Quitte à simplifier par $w_1^{k_1} \cdots w_{i-1}^{k_{i-1}} = w'_1{}^{k'_1} \cdots w'_{i-1}{}^{k'_{i-1}}$ et à renuméroter, on peut supposer que $i = 1$. Mais alors, considérons $\text{Id} = w_n^{-k_n} \cdots w_1^{-k_1} w'_1{}^{k'_1} \cdots w'_{n'}{}^{k'_{n'}}$. Deux cas :

- soit $w_1 \neq w'_1$, et alors $w_n^{-k_n} \cdots w_1^{-k_1} w'_1{}^{k'_1} \cdots w'_{n'}{}^{k'_{n'}}$ est une décomposition réduite ;
- soit $w_1 = w'_1$ et $k_1 \neq k'_1$, et alors $w_n^{-k_n} \cdots w_2^{-k_2} w_1^{-k_1+k'_1} w'_2{}^{k'_2} \cdots w'_{n'}{}^{k'_{n'}}$ est réduite.

Dans les deux cas, la question précédente contredit le fait que l'élément désigné est l'identité. Par suite, les décompositions coïncident.

Remarque On dit que $\Gamma(2)$ est isomorphe au groupe libre sur deux lettres.

II.D Domaine fondamental

II.D.1) On note $g : Z \mapsto (aZ + b)/(cZ + d)$. Vu que $\Gamma(2)$ est engendré par $u = h_U$ et $v = h_V$, où U et V ont pour déterminant 1, g est l'homographie associée à une matrice qui est un produit de puissances de U et de V : cette matrice a donc pour déterminant 1, si bien qu'on peut supposer que $ad - bc = 1$. Notons $z = x + iy$, avec $x \in \mathbb{R}$ et $y \in \mathbb{R}_+^*$. On a alors :

$$\text{Im } g(z) = \text{Im } \frac{(az + b)(\bar{c}z + d)}{|cz + d|^2} = \text{Im } \frac{(ax + b + iay)(cx + d - icy)}{|cz + d|^2} = \frac{(ad - bc)y}{|cz + d|^2} = \frac{\text{Im } z}{|cz + d|^2}.$$

II.D.2) Rappelons que ε et z sont fixés. Soit g comme avant. De $|cz + d| \geq |c \text{Im}(z)|$, on tire :

$$|c| > \frac{1}{\sqrt{\varepsilon \text{Im } z}} \implies \text{Im } g(z) \leq \frac{\text{Im } z}{|c|^2 \text{Im}(z)^2} = \frac{1}{|c|^2 \text{Im } z} < \varepsilon.$$

De plus, $|cz + d| \geq |d| - |cz|$, donc :

$$|c| \leq \frac{1}{\varepsilon \text{Im } z} \text{ et } |d| > \frac{|z|}{\sqrt{\varepsilon \text{Im } z}} + \sqrt{\frac{\text{Im } z}{\varepsilon}} \implies \text{Im } g(z) \leq \frac{\text{Im } z}{(|d| - |cz|)^2} \leq \frac{\text{Im } z}{\left(|d| - \frac{|z|}{\sqrt{\varepsilon \text{Im } z}}\right)^2} < \varepsilon.$$

Ainsi, à part pour un nombre fini de couples (c, d) , on a : $\text{Im } g(z) < \varepsilon$.

Il n'est pas nécessaire de faire des majorations si précises. On peut aussi dire ce qui suit.

Deuxième version : Puisque pour tout (c, d) , on a : $|cz + d| \geq |cz|$ et que $\lim_{|c| \rightarrow +\infty} |cz| = +\infty$, il existe $C \in \mathbb{N}$ tel que pour tout c , $|c| > C$ entraîne $\text{Im } g(z) = \text{Im}(z)/|cz + d|^2 < \varepsilon$. Si $|c| \leq C$ et $|d|$ assez grand (tel que $|d| > C|z|$), on a : $\text{Im } g(z) \leq \text{Im}(z)/(|d| - |cz|)^2 \leq \text{Im}(z)/(|d| - C|z|)^2$. Or, cette quantité tend vers 0 lorsque $|d|$ tend vers l'infini, si bien que pour $D \in \mathbb{N}$ convenable et tout (c, d) tel que $|c| \leq C$ et $|d| \geq D$, on a : $\text{Im } g(z) < \varepsilon$. Ainsi, dès que $|c| > C$ ou que $|d| > D$, ce qui est vrai pour tous les couples (c, d) sauf un nombre fini, on a : $\text{Im } g(z) < \varepsilon$.

II.D.3) Fixons par exemple $\varepsilon = \text{Im } z$. L'ensemble $\mathcal{I}_z \cap [\varepsilon, +\infty[$ étant fini, il possède un élément maximal, qui est aussi un élément maximal de \mathcal{I}_z .

II.D.4) Soit $z' \in \mathcal{O}_z$ de partie imaginaire maximale. Il existe un unique $k \in \mathbb{Z}$ tel que $-1 \leq \text{Im } z' - 2k < 1$, à savoir, la partie entière de $(\text{Im } z + 1)/2$. Alors, $u^{-k}(z')$ a la même partie imaginaire que z' , et une partie réelle dans l'intervalle $[-1, 1]$.

II.D.5) Comme $z'' \in Q^+$, on a : $|2z'' + 1| < 1$. Par suite :

$$\operatorname{Im} v(z'') = \operatorname{Im} \frac{z''}{2z'' + 1} = \operatorname{Im} \frac{2|z''|^2 + z''}{|2z'' + 1|^2} = \frac{\operatorname{Im} z''}{|2z'' + 1|^2} > \operatorname{Im} z''.$$

On montrerait de même que si $z'' \in Q^-$, alors $\operatorname{Im} v^{-1}(z'') > \operatorname{Im} z''$.

II.D.6) Soit $z'' = g(z')$. D'après la question précédente, la maximalité de $\operatorname{Im} z''$ dans \mathcal{O}_z exclut que z'' appartienne à Q^+ et à Q^- . Par suite, $z'' = g(z') \in \overline{F}$.

II.D.7) Avec les notations précédentes, il existe $h \in \Gamma(2)$ tel que $z' = h(z)$. Mais alors, on a : $z = h^{-1} \circ g^{-1}(z'')$, avec $h^{-1} \circ g^{-1} \in \Gamma(2)$ et $z'' \in \overline{F}$.

Remarque Avec quelques calculs supplémentaires, on peut montrer que si $z \in \overline{F}$ et $g \in \Gamma(2)$ sont tels que $g(z) \in \overline{F}$, alors $g = \operatorname{Id}$, ou alors z appartient au bord de F et g est $u^{\pm 1}$ ou $v^{\pm 1}$.

III Le groupe $\tilde{\Gamma} = \operatorname{Ker}(PSL_2(\mathbb{Z}) \rightarrow PSL_2(\mathbb{Z}/2\mathbb{Z}))$

III.A Le groupe $\tilde{\Gamma}$, un groupe presque libre

III.A.1) Bien sûr, $\tilde{\Gamma}$ n'est pas vide, puisqu'il contient U et V . Vérifions que c'est un sous-groupe de $GL_2(\mathbb{C})$. Par multiplicativité du déterminant, le produit de deux éléments de $\tilde{\Gamma}$ a pour déterminant 1. Le produit de deux éléments quelconques de $\tilde{\Gamma}$ est, avec des notations évidentes :

$$\begin{pmatrix} a & b \\ c & d \end{pmatrix} \begin{pmatrix} a' & b' \\ c' & d' \end{pmatrix} = \begin{pmatrix} aa' + bc' & ab' + bd' \\ ca' + dc' & cb' + dd' \end{pmatrix}.$$

On a alors : $aa' + bc' \equiv cb' + dd' \equiv 1 \pmod{2}$, $ab' + bd' \equiv ca' + dc' \equiv 0 \pmod{2}$, ce qui prouve que $\tilde{\Gamma}$ est stable par produit.

Enfin, comme les éléments de $\tilde{\Gamma}$ ont pour déterminant 1, on a :

$$\forall A = \begin{pmatrix} a & b \\ c & d \end{pmatrix} \in \tilde{\Gamma}, \quad A^{-1} = \frac{1}{ad - bc} \begin{pmatrix} d & -b \\ -c & a \end{pmatrix} = \begin{pmatrix} d & -b \\ -c & a \end{pmatrix} \in \tilde{\Gamma}.$$

Idée On veut montrer que U et V engendrent $\tilde{\Gamma}$. Pour cela, on se rappelle que U et V sont des matrices "élémentaires", et que multiplier une matrice à gauche par U ou V , c'est faire des combinaisons linéaires des lignes. A l'aide d'opérations élémentaires bien choisies, on fait baisser la quantité $\delta(A)$, jusqu'à arriver à une matrice triangulaire supérieure.

III.A.2) Il faut supposer que $|a| \neq |c|$, sans quoi le résultat est faux !

Si $0 < |c| < |a|$, on a : $-|a| < |a| - 2|c| < |a|$, d'où : $||a| - 2|c|| < |a| = \max(|a|, |c|)$. Comme l'assertion à démontrer est symétrique en a et c , il n'y a rien à ajouter.

III.A.3) Il faut supposer que $\delta(A) > 1$, sans quoi le résultat est faux ! Puisque a est impair, il n'est pas nul, d'où : $\delta(A) \geq 1$. Si $\delta(A) = 1$, pas moyen de faire baisser $\delta(A)$!

On commence par calculer WA pour $W \in \{U^{\pm 1}, V^{\pm 1}\}$:

$$U^{\pm 1}A = \begin{pmatrix} a \pm 2c & b \pm 2d \\ c & d \end{pmatrix}, \quad V^{\pm 1}A = \begin{pmatrix} a & b \\ c \pm 2a & d \pm 2b \end{pmatrix}.$$

On a déjà dit que a n'est pas nul. Si c est nul, alors $ad = 1$ donc $\delta(A) = |a| = 1$.

Supposons désormais $\delta(A) \geq 2$. Alors, a et c ne sont pas nuls, et de plus : $|a| \neq |c|$, puisque les parités de a et c sont différentes. D'après la question précédente, $|a| - 2|c|$ ou $|c| - 2|a|$ a une valeur absolue strictement plus petite que $\max(|a|, |c|)$.

- Supposons que $|c| < |a|$, de sorte que $||a| - 2|c|| < \max(|a|, |c|)$; si a et c sont de même signe, $\delta(U^{-1}A) < \delta(A)$; sinon, $\delta(UA) < \delta(A)$;

- De même, supposons que $|a| < |c|$, de sorte que $||c| - 2|a|| < \max(|a|, |c|)$; si a et c sont de même signe, $\delta(V^{-1}A) < \delta(A)$; sinon, $\delta(VA) < \delta(A)$.

III.A.4) Il faut supposer que $A \neq \text{Id}$, sinon le résultat est faux.

Supposons $\delta(A) = 1$. Comme c est pair et $|c| \leq \delta(A)$, on a : $c = 0$. Par suite, $a = \pm 1$. Comme $ad = 1$, il vient : $d = a = \pm 1$, et bien sûr, b est pair. Mais alors, on a : $A = aV^{b/2}$, qui est de la forme voulue.

Soit $n \in \mathbb{N}^*$, supposons que toute matrice $A' \in \tilde{\Gamma}$ telle que $\delta(A') \leq n$ puisse s'écrire sous la forme voulue. Soit alors $A \in \tilde{\Gamma}$ avec $\delta(A) = n + 1$. D'après la question précédente, il existe $W \in \{U^{\pm 1}, V^{\pm 1}\}$ tel que $\delta(WA) < \delta(A)$. On applique l'hypothèse de récurrence à $A' = WA$, ce qui donne une décomposition de $A = W^{-1}A'$ comme dans II.A.2). On applique alors le même raisonnement qu'en II.A.3) pour trouver une décomposition réduite, i.e. satisfaisant de plus : $W_i \neq W_{i+1}$ et $k_i \neq 0$.

Remarque On en déduit que $\Gamma(2)$ est formé des homographies définies par les matrices de $\tilde{\Gamma}$. Plus précisément, $\Gamma(2)$ est isomorphe au quotient de $\tilde{\Gamma}$ par $\{\pm \text{Id}\}$.

III.A.5) Soit $\varepsilon, \varepsilon' \in \{-1, 1\}$, $r, r' \in \mathbb{N}^*$, $(W_1, \dots, W_r) \in \{U, V\}^r$, $(W'_1, \dots, W'_{r'}) \in \{U, V\}^{r'}$, $(k_1, \dots, k_r) \in \mathbb{Z}^{*r}$ et $(k'_1, \dots, k'_{r'}) \in \mathbb{Z}^{*r'}$ tels que

$$A = \varepsilon W_1^{k_1} W_2^{k_2} \dots W_r^{k_r} = \varepsilon' W'_1{}^{k'_1} \dots W'_{r'}{}^{k'_{r'}}$$

et pour tout i, i' , $W_i \neq W_{i+1}$, $W'_{i'} \neq W'_{i'+1}$.

Considérons l'homographie h_A . Si on note $w_i \in \{u, v\}$ l'homographie associée à $W_i \in \{U, V\}$, et de même pour $w'_{i'}$, on a avec I.A.1) :

$$w_1^{k_1} w_2^{k_2} \dots w_r^{k_r} = w'_1{}^{k'_1} \dots w'_{r'}{}^{k'_{r'}} \in \Gamma(2).$$

D'après II.C.2), on a : $r = r'$ et, pour tout i , $w_i = w'_i$ et $k_i = k'_i$. D'où, pour tout i , $W_i = W'_i$. Reste à voir que $\varepsilon = \varepsilon'$, ce qui est évident après simplification par les produits de W_i dans l'expression de A .

III.B Complétions d'une colonne

III.B.1) Pour $m, n \in \mathbb{Z}$ avec $m \wedge n = 1$, le "théorème de Bezout" assure qu'il existe $p, q \in \mathbb{Z}$ tel que $mq - np = 1$.

III.B.2) Supposons de plus que m est impair et n est pair et soit $(p, q) \in \mathbb{Z}^2$ tel que $mq - np = 1$. Notons que comme n est pair, q est nécessairement impair, sans quoi $mq - np$ est pair. Si p est pair, on a gagné. Si p est impair, on pose $p' = p + m$ et $q' = q + n$: alors p' est pair, q' est toujours impair, et $mq' - np' = mq - np = 1$. La matrice dont les lignes sont $(m \ p')$ et $(n \ q')$ convient.

III.B.3) Puisque A et A' sont dans $\tilde{\Gamma}$, leur déterminant est 1, d'où, par différence : $m(q' - q) = n(p' - p)$. Comme m et n sont premiers entre eux, le lemme de Gauss donne : $m | (p' - p)$. Il existe donc $j \in \mathbb{Z}$ tel que $p' - p = jm$, d'où l'on tire en remplaçant : $q' - q = jn$. Or, comme p et p' sont tous deux pairs et que m est impair, j est pair. On écrit $j = 2k$, puis on constate que les relations $p' = p + 2km$ et $q' = q + 2kn$ signifient exactement que $A' = AU^k$.

Inversement (l'énoncé est un peu vague sur le sens de la réciproque), un calcul direct montre que pour tout $k \in \mathbb{Z}$, A et AU^k ont la même première colonne.

III.C Une bijection

L'énoncé ne précise pas que pour $\varepsilon = \pm 1$, $\Phi(\varepsilon \text{Id}) = \varepsilon \text{Id}$.

On montre par récurrence sur $\ell(A) = |k_1| + \dots + |k_r|$ que

$$A = \varepsilon W_1^{k_1} W_2^{k_2} \dots W_r^{k_r} = \begin{pmatrix} m & p \\ n & q \end{pmatrix} \implies \Phi(A) = \begin{pmatrix} m & -p \\ -n & q \end{pmatrix}.$$

C'est évident pour $\ell(A) = 1$ par calcul immédiat des inverses de U et V . Pour montrer le pas de récurrence, on calcule :

$$\begin{pmatrix} 1 & 2 \\ 0 & 1 \end{pmatrix} \begin{pmatrix} m & p \\ n & q \end{pmatrix} = \begin{pmatrix} m+2n & p+2q \\ n & q \end{pmatrix}, \quad \begin{pmatrix} 1 & -2 \\ 0 & 1 \end{pmatrix} \begin{pmatrix} m & -p \\ -n & q \end{pmatrix} = \begin{pmatrix} m+2n & -p-2q \\ -n & q \end{pmatrix},$$

$$\begin{pmatrix} 1 & 0 \\ 2 & 1 \end{pmatrix} \begin{pmatrix} m & p \\ n & q \end{pmatrix} = \begin{pmatrix} m & p \\ n+2m & q+2p \end{pmatrix}, \quad \begin{pmatrix} 1 & 0 \\ -2 & 1 \end{pmatrix} \begin{pmatrix} m & -p \\ -n & q \end{pmatrix} = \begin{pmatrix} m & -p \\ -n-2m & q+2p \end{pmatrix}.$$

On en déduit que si, pour $\ell(A) = N$

IV Enumération des triplets pythagoriciens

IV.A Réduction aux TP primitifs

IV.A.1) Soit (x, y, z) un TP et d le pgcd de x , y et z . Ecrivons $x = dx'$, $y = dy'$ et $z = dz'$. Comme l'équation $x^2 + y^2 = z^2$ est homogène de degré 2, (x', y', z') est un TP, et il est primitif par construction.

IV.A.2) Soit (x, y, z) un TP primitif. En écrivant $z^2 = x^2 + y^2$ (resp. $y^2 = z^2 - x^2$, resp. $x^2 = z^2 - y^2$), on voit que si un nombre divise x et y (resp. z et x , resp. z et y), alors il divise z (resp. y , resp. x), donc il divise le pgcd de (x, y, z) , qui vaut 1. Ainsi, x , y et z sont premiers entre eux deux à deux.

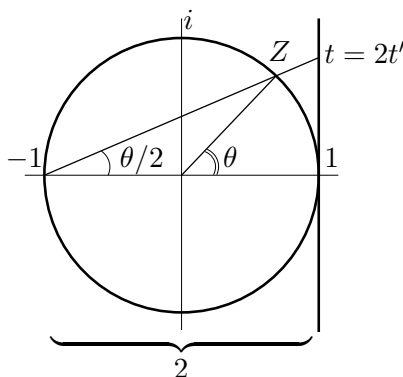
En particulier, x et y ne sont pas tous les deux pairs. Mais en supposant qu'ils sont tous les deux impairs, disons $x = 2k + 1$ et $y = 2\ell + 1$, on voit d'abord que z est pair, puis, en écrivant $z = 2m$, en remplaçant et en divisant par 2, il vient :

$$4k^2 + 4k + 4\ell^2 + 4\ell + 2 = 4m^2 + 4m, \quad \text{d'où : } 2(k^2 + k + \ell^2 + \ell - m^2 - m) + 1 = 0,$$

ce qui est impossible. Ainsi, x et y sont de parités différentes et z est impair.

IV.B Paramétrage des TP primitifs

IV.B.1) Voici un dessin.



IV.B.2) Par construction, on a : $Z \neq -1$. Soit $\theta \in]-\pi, \pi[$ tel que $Z = \exp(i\theta)$. Par le théorème de l'angle inscrit, l'argument de $(1 + it) - (-1)$ est $\theta/2$, d'où :

$$\tan \frac{\theta}{2} = \frac{t}{2}.$$

En notant $t' = t/2$, il vient :

$$Z = \cos \theta + i \sin \theta = \frac{1 - t'^2}{1 + t'^2} + \frac{2t'}{1 + t'^2} i.$$

Eh oui, encore une coquille dans l'énoncé. Repassez dans 2 ans, il sera plus propre !

IV.B.3) La coquille ne prête pas trop à conséquence, car t est rationnel SSI t' est rationnel. Il est clair que si t (ou t') est rationnel, alors $\operatorname{Re} Z$ et $\operatorname{Im} Z$ sont rationnels. Inversement, supposons que $\operatorname{Re} Z$ et $\operatorname{Im} Z$ sont rationnels. Alors, constatant que $\operatorname{Re} Z \neq -1$, on a :

$$\operatorname{Re} Z = \frac{1 - t'^2}{1 + t'^2} \iff t'^2 = \frac{\operatorname{Re} Z - 1}{-\operatorname{Re} Z - 1}.$$

On en tire que t'^2 est rationnel. Mais alors, on a : $t' = (1 + t'^2) \operatorname{Im} Z / 2$, donc t' est rationnel.
IV.B.4) Soit (x, y, z) un TP primitif. Si x ou y est nul, on peut prendre $m = 1$ et $n = 0$ ou $m = 0$ et $n = 1$, ce qui marche au signe de z près. Supposons désormais $xy \neq 0$, d'où $z \neq 0$. Quitte à permuter x et y , on peut supposer que x est impair et y est pair. Alors, $Z = x/z + iy/z$ est un point du cercle unité, autre que ± 1 . La droite passant par -1 et Z coupe la droite $\{\operatorname{Re} = 1\}$ en un point noté $1 + it$, avec $t \in \mathbb{R}$. Evidemment, le point Z est l'autre intersection de la droite contenant -1 et $1 + it$ et du cercle, donc on peut appliquer ce qui précède. En notant $t' = t/2$, on voit que t' est rationnel. On l'écrit sous la forme n/m , où $m, n \in \mathbb{Z}^*$ et $m \wedge n = 1$. En chassant les dénominateurs dans l'expression de x/z , on trouve :

$$(*) \quad (m^2 + n^2)x = (m^2 - n^2)z \quad \text{et} \quad (m^2 + n^2)y = 2mnz.$$

Puisque z divise $x(m^2 + n^2)$ et est premier avec x , le lemme de Gauss donne l'existence de $d \in \mathbb{Z}$ tel que $m^2 + n^2 = dz$. En reportant et en simplifiant par z , on trouve : $m^2 - n^2 = dx$. Si d admet un diviseur premier p , on a donc : $p|(m^2 + n^2)$ et $p|(m^2 - n^2)$, d'où : $p|2m^2$ et $p|2n^2$. Comme m et n sont premiers entre eux, le lemme de Gauss montre que $p = 2$.

On veut montrer que c'est impossible. Pour cela, il suffit de montrer que m et n sont de parités différentes (car alors, $m^2 \pm n^2$ sera impair). Comme $m \wedge n = 1$, m et n ne sont pas tous deux pairs. Supposons-les tous deux impairs. Alors $m^2 + n^2$ est pair, si bien que $(m^2 + n^2)y$ est divisible par 4. Comme m, n et z sont impairs, $2mnz$ n'est pas divisible par 4, d'où une contradiction.

Ainsi, d n'a pas de diviseur premier, et donc, à permutation de x et y près, on a :

$$x = \pm(m^2 - n^2), \quad y = \pm 2mn, \quad z = \pm(m^2 + n^2),$$

où m et n sont premiers entre eux et de parités différentes.

IV.C Enumération des TP primitifs positifs

IV.C.1) La surjectivité de f a été prouvée à la question précédente.

IV.C.2) Soit $A \in \tilde{\Gamma}$. Alors, on a, en ignorant ce qui se passe sur la deuxième colonne :

$$A = \begin{pmatrix} m & * \\ n & * \end{pmatrix} \implies \Phi(A) = \begin{pmatrix} m & * \\ -n & * \end{pmatrix}, \quad -A = \begin{pmatrix} -m & * \\ -n & * \end{pmatrix}, \quad -\Phi(A) = \begin{pmatrix} -m & * \\ n & * \end{pmatrix}.$$

De plus, la multiplication à droite par U^k (pour $k \in \mathbb{Z}$) ne change pas la première colonne d'une matrice. D'où pour $\varepsilon \in \{-1, 1\}$ et $k \in \mathbb{Z}$, $f(\varepsilon AU^k) = f(\varepsilon \Phi(A)U^k) = f(A)$.

Inversement, supposons que A et A' ont la même image (x, y, z) par f . Notons ${}^t(m \ n)$ la première colonne de A , ${}^t(m' \ n')$ celle de A' . En posant $Z = x/z + iy/z$, on voit comme ci-dessus que

$$\frac{n^2}{m^2} = \frac{z - x}{z + x} = \frac{n'^2}{m'^2}.$$

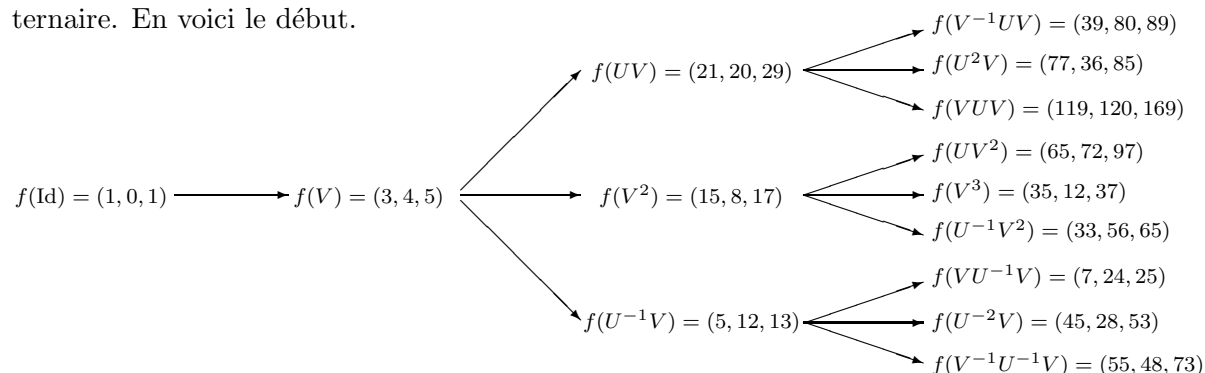
Or, d'après le lemme de Gauss, $m^2 \wedge n^2 = m'^2 \wedge n'^2 = 1$, donc n^2/m^2 et n'^2/m'^2 sont des fractions irréductibles, d'où : $m^2 = m'^2$ et $n^2 = n'^2$. On en déduit que (m, n) et (m', n') coïncident aux signes près.

En d'autres termes, A' et l'une des matrices A , $-A$, $\Phi(A)$ et $-\Phi(A)$ ont la même première colonne. D'après III.B.3), elles diffèrent d'une puissance de U .

IV.C.3) D'après la question précédente et III.A.4), un TP primitif positif (x, y, z) non trivial ($xyz \neq 0$), où x est impair est l'image par f d'un élément $A \in \tilde{\Gamma}$ de la forme $A = \varepsilon W_1^{k_1} W_2^{k_2} \dots W_r^{k_r}$ (dans les notations de III.A.4)). Comme $f(A) = f(\varepsilon A)$, quitte à remplacer A par εA , on peut supposer que $\varepsilon = 1$. Comme $f(A) = f(AU^k)$ pour tout k , quitte à remplacer A par AU^{-k_r} si $W_r = U$, on peut supposer que $W_r = V$. Enfin, comme $f(A) = f(\Phi(A))$, quitte à remplacer A par $\Phi(A)$, on peut supposer $k_r > 0$. Il n'y a plus qu'à renuméroter les W_i (selon la parité de r).

Pour l'unicité, la clé est III.A.5). Détails laissés au lecteur assidu.

On peut à présent ranger les TP primitifs positifs sur les sommets d'un graphe. On met une arête entre les sommets $f(A)$ et $f(A')$ si on a $A' = WA$ pour un certain $W \in \{U^{\pm 1}, V^{\pm 1}\}$. Le fait que $\Gamma(2)$ soit un groupe libre entraîne que le graphe obtenu est un arbre, évidemment ternaire. En voici le début.



Sources

- la partie I est très classique ; voir par exemple M. Audin, *Géométrie* ;
- l'argument utilisant les disques pour montrer que $\Gamma(2)$ est libre dans la partie II est tiré du superbe et très riche livre *Indra's pearls*, de D. Mumford, C. Series et D. Wright, Cambridge University Press ;
- l'argument relatif au domaine fondamental est inspiré par le *Cours d'arithmétique* de J.-P. Serre ;
- l'argument provenant des manipulations sur les lignes et les colonnes pour montrer l'engendrement de $\tilde{\Gamma}$ par U , V et $-\text{Id}$ est semi-classique ; c'est A. Tchoudjem qui m'a aidé à le mettre au clair (récurrence sur $\max(|a|, |c|)$, et pas sur $c^2 + d^2$!) ;
- l'utilisation de $\tan(\theta/2)$ pour paramétrer les points à coordonnées rationnelles du cercle unité, puis les triplets pythagoriciens, est classique ;
- la façon de "ranger" les triplets pythagoriciens selon un arbre ternaire a été inventée par plein de gens :
 - le premier aurait été J. F. M. Barning vers 1963 ;
 - on trouve une version totalement élémentaire (traduire : lisible) et un peu "magique" dans l'article de P. Préau, *Un graphe ternaire associé à l'équation $X^2 + Y^2 = Z^2$* , C. R. Acad. Sci. Paris Sér. I Math. 319 (1994), no. 7, pp. 665–668 ;
 - sous la forme ci-dessus, la source d'inspiration principale a été l'article de R. Alperin, *The modular tree of Pythagoras*, *Amer. Math. Monthly* 112, November 2005, voir www.math.sjsu.edu/~alperin/pt.pdf ;
 - le premier dessin du sujet est classique, mais je l'ai trouvé dans l'article de D. Romik, *The dynamics of Pythagorean triples*, voir par exemple <http://cm.bell-labs.com/who/romik/a/explanations/pyth.html>.